

Parâmetros Híbridos — Equações de Conversão (Exatas e Aproximadas)

A

A.1 EXATAS

Configuração Emissor-Comum

$$h_{ie} = \frac{h_{ib}}{(1 + h_{fb})(1 - h_{rb}) + h_{ob}h_{ib}} = h_{ic}$$

$$h_{re} = \frac{h_{ib}h_{ob} - h_{rb}(1 + h_{fb})}{(1 + h_{fb})(1 - h_{rb}) + h_{ob}h_{ib}} = 1 - h_{rc}$$

$$h_{fe} = \frac{-h_{fb}(1 - h_{rb}) - h_{ob}h_{ib}}{(1 + h_{fb})(1 - h_{rb}) + h_{ob}h_{ib}} = -(1 + h_{fc})$$

$$h_{oe} = \frac{h_{ob}}{(1 + h_{fb})(1 - h_{rb}) + h_{ob}h_{ib}} = h_{oc}$$

Configuração Base-Comum

$$h_{ib} = \frac{h_{ie}}{(1 + h_{fe})(1 - h_{re}) + h_{ie}h_{oe}} = \frac{h_{ic}}{h_{ic}h_{oc} - h_{fc}h_{rc}}$$

$$h_{rb} = \frac{h_{ie}h_{oe} - h_{re}(1 + h_{fe})}{(1 + h_{fe})(1 - h_{re}) + h_{ie}h_{oe}} = \frac{h_{fe}(1 - h_{rc}) + h_{ic}h_{oc}}{h_{ic}h_{oc} - h_{fc}h_{rc}}$$

$$h_{fb} = \frac{-h_{fe}(1 - h_{re}) - h_{ie}h_{oe}}{(1 + h_{fe})(1 - h_{re}) + h_{ie}h_{oe}} = \frac{h_{re}(1 + h_{fc}) - h_{ic}h_{oc}}{h_{ic}h_{oc} - h_{fc}h_{rc}}$$

$$h_{ob} = \frac{h_{oe}}{(1 + h_{fe})(1 - h_{re}) + h_{ie}h_{oe}} = \frac{h_{oc}}{h_{ic}h_{oc} - h_{fc}h_{rc}}$$

Configuração Coletor-Comum

$$h_{ic} = \frac{h_{ib}}{(1 + h_{fb})(1 - h_{rb}) + h_{ob}h_{ib}} = h_{ie}$$

$$h_{rc} = \frac{1 + h_{fb}}{(1 + h_{fb})(1 - h_{rb}) + h_{ob}h_{ib}} = 1 - h_{re}$$

$$h_{fc} = \frac{h_{rb} - 1}{(1 + h_{fb})(1 - h_{rb}) + h_{ob}h_{ib}} = -(1 + h_{fe})$$

$$h_{oc} = \frac{h_{ob}}{(1 + h_{fb})(1 - h_{rb}) + h_{ob}h_{ib}} = h_{oe}$$

A.2 APROXIMADAS

Configuração Emissor-Comum

$$h_{ie} \cong \frac{h_{ib}}{1 + h_{fb}} \cong \beta r_e$$

$$h_{re} \cong \frac{h_{ib}h_{ob}}{1 + h_{fb}} \cong -h_{rb}$$

$$h_{fe} \cong \frac{-h_{fb}}{1 + h_{fb}} \cong \beta$$

$$h_{oe} \cong \frac{h_{ob}}{1 + h_{fb}}$$

Configuração Base-Comum

$$h_{ib} \cong \frac{h_{ie}}{1 + h_{fe}} \cong \frac{-h_{ic}}{h_{fc}} \cong r_e$$

$$h_{rb} \cong \frac{h_{ie}h_{oe}}{1 + h_{fe}} - h_{re} \cong h_{rc} - 1 - \frac{h_{ic}h_{oc}}{h_{fc}}$$

$$h_{fb} \cong \frac{-h_{fe}}{1 + h_{fe}} \cong \frac{-(1 + h_{fc})}{h_{fc}} \cong -\alpha$$

$$h_{ob} \cong \frac{h_{oe}}{1 + h_{fe}} \cong \frac{-h_{oc}}{h_{fc}}$$

Configuração Coletor-Comum

$$h_{ic} \cong \frac{h_{ib}}{1 + h_{fb}} \cong \beta r_e$$

$$h_{rc} \cong 1$$

$$h_{fc} \cong \frac{-1}{1 + h_{fb}} \cong -\beta$$

$$h_{oc} \cong \frac{h_{ob}}{1 + h_{fb}}$$

Fator de Ripple e Cálculos de Tensão B

B.1 FATOR DE RIPPLE DO RETIFICADOR

O fator de ripple de uma tensão é definido por

$$r = \frac{\text{valor rms da componente ac do sinal}}{\text{valor médio do sinal}}$$

que pode ser expressa por

$$r = \frac{V_r(\text{rms})}{V_{dc}}$$

Como a componente ac de um sinal contendo um nível dc é

$$v_{ac} = v - V_{dc}$$

o valor rms da componente ac é

$$\begin{aligned} V_r(\text{rms}) &= \left[\frac{1}{2\pi} \int_0^{2\pi} v_{ac}^2 d\theta \right]^{1/2} \\ &= \left[\frac{1}{2\pi} \int_0^{2\pi} (v - V_{dc})^2 d\theta \right]^{1/2} \\ &= \left[\frac{1}{2\pi} \int_0^{2\pi} (v^2 - 2vV_{dc} + V_{dc}^2) d\theta \right]^{1/2} \\ &= [V^2(\text{rms}) - 2V_{dc}^2 + V_{dc}^2]^{1/2} \\ &= [V^2(\text{rms}) - V_{dc}^2]^{1/2} \end{aligned}$$

onde $V(\text{rms})$ é o valor rms da tensão total. Para o sinal retificado de meia-onda,

$$\begin{aligned} V_r(\text{rms}) &= [V^2(\text{rms}) - V_{dc}^2]^{1/2} \\ &= \left[\left(\frac{V_m}{2} \right)^2 - \left(\frac{V_m}{\pi} \right)^2 \right]^{1/2} \\ &= V_m \left[\left(\frac{1}{2} \right)^2 - \left(\frac{1}{\pi} \right)^2 \right]^{1/2} \end{aligned} \quad (\text{B.1})$$

$$V_r(\text{rms}) = 0,385 V_m \quad (\text{meia-onda})$$

Para o sinal retificado de onda-completa,

$$\begin{aligned} V_r(\text{rms}) &= [V^2(\text{rms}) - V_{dc}^2]^{1/2} \\ &= \left[\left(\frac{V_m}{\sqrt{2}} \right)^2 - \left(\frac{2V_m}{\pi} \right)^2 \right]^{1/2} \\ &= V_m \left(\frac{1}{2} - \frac{4}{\pi^2} \right)^{1/2} \end{aligned}$$

$$V_r(\text{rms}) = 0,308 V_m \quad (\text{onda-completa}) \quad (\text{B.2})$$

B.2 TENSÃO DE RIPPLE DO CAPACITOR DE FILTRAGEM

Assumindo uma tensão de ripple triangular, como mostrado na Fig. B.1, podemos escrever (ver Fig. B.2)

$$V_{dc} = V_m - \frac{V_r(p-p)}{2} \quad (\text{B.3})$$

Durante a descarga do capacitor, a variação da tensão através deste é

$$V_r(p-p) = \frac{I_{dc}T_2}{C} \quad (\text{B.4})$$

Da forma da onda triangular na Fig. B.1

$$V_r(\text{rms}) = \frac{V_r(p-p)}{2\sqrt{3}} \quad (\text{B.5})$$

(obtido de cálculos, não mostrados).

Analizando a forma de onda da Fig. B.1, podemos escrever

$$\frac{V_r(p-p)}{T_1} = \frac{V_m}{T/4}$$

$$T_1 = \frac{V_r(p-p)(T/4)}{V_m}$$

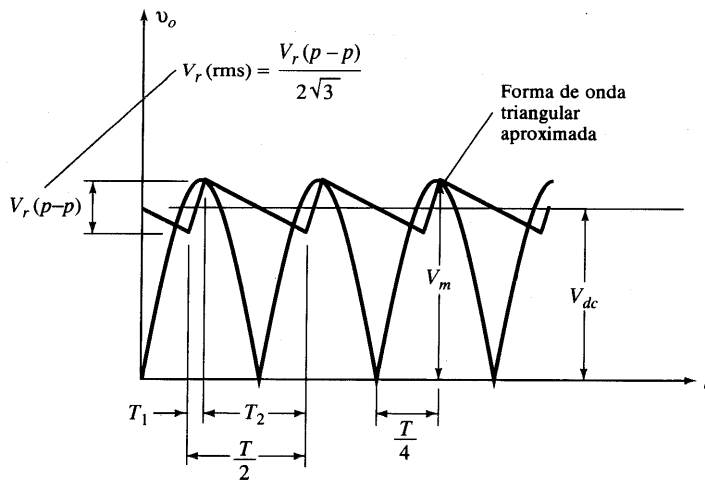


Fig. B.1 Tensão de ripple triangular aproximada para o capacitor de filtragem.

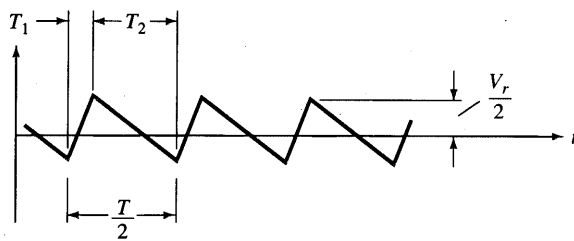


Fig. B.2 Tensão de ripple.

$$\text{Também, } T_2 = \frac{T}{2} - T_1 = \frac{T}{2} - \frac{V_r(\text{p-p})(T/4)}{V_m} =$$

$$T_2 = \frac{2TV_m - V_r(\text{p-p})T}{4V_m}$$

$$T_2 = \frac{2V_m - V_r(\text{p-p})}{V_m} \frac{T}{4}$$

Escrevendo a Eq. (B.3) da forma

$$V_{dc} = \frac{2V_m - V_r(\text{p-p})}{2}$$

podemos combinar a última equação com a Eq. (B.6):

$$T_2 = \frac{V_{dc}}{V_m} \frac{T}{2}$$

que, substituída na Eq. (B.4), resulta

$$V_r(\text{p-p}) = \frac{I_{dc}}{C} \left(\frac{V_{dc}}{V_m} \frac{T}{2} \right)$$

$$T = \frac{1}{f}$$

$$V_r(\text{p-p}) = \frac{I_{dc}}{2fC} \frac{V_{dc}}{V_m} \quad (\text{B.7})$$

Combinando as Eqs. (B.5) e (B.7), solucionamos para $V_r(\text{rms})$:

$$V_r(\text{rms}) = \frac{V_r(\text{p-p})}{2\sqrt{3}} = \frac{I_{dc}}{4\sqrt{3}fC} \frac{V_{dc}}{V_m} \quad (\text{B.8})$$

B.3 RELAÇÃO DE V_{dc} E V_m COM O RIPPLE, r

A tensão sobre um capacitor de filtragem originada de um transformador com uma tensão de pico igual a V_m , relaciona-se com o ripple da seguinte forma:

$$r = \frac{V_r(\text{rms})}{V_{dc}} = \frac{V_r(\text{p-p})}{2\sqrt{3}V_{dc}}$$

$$V_{dc} = \frac{V_r(\text{p-p})}{2\sqrt{3}r} = \frac{V_r(\text{p-p})/2}{\sqrt{3}r} = \frac{V_r(\text{p-p})}{\sqrt{3}r} = \frac{V_m - V_{dc}}{\sqrt{3}r}$$

$$V_m - V_{dc} = \sqrt{3}rV_{dc}$$

$$V_m = (1 + \sqrt{3}r)V_{dc}$$

$$\frac{V_m}{V_{dc}} = 1 + \sqrt{3}r \quad (\text{B.19})$$

A relação da Eq. (B.9) aplica-se aos circuitos de filtro e retificador de meia-onda e onda-completa. Por exemplo, em um ripple de 5% a tensão dc é de $V_{dc} = 0,92 V_m$, ou mais de 90% da tensão

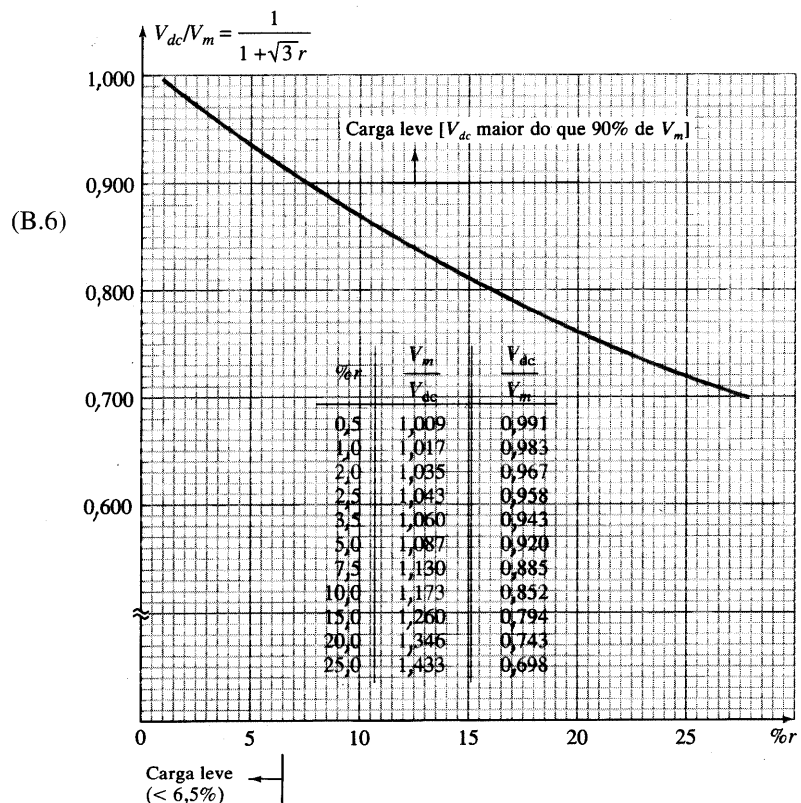


Fig. B.3 Traçado de V_{dc}/V_m como função de % r .

de pico; e para um ripple de 20%, a tensão dc é apenas 0,74 V_m , inferior a 75% da tensão do pico. Observe que V_{dc} é mais de 90% da tensão de pico para um ripple menor do que 6,5%. Esta quantidade de ripple representa o limite para a condição de carga leve.

B.4 RELAÇÃO DE V_r (RMS) E V_m COM O RIPPLE, r

Podemos também obter uma relação entre V_r (rms), V_m , e a quantidade de ripple para os circuitos de filtragem com retificador de meia-onda e onda-completa:

$$\frac{V_r(p-p)}{2} = V_m - V_{dc}$$

$$\frac{V_r(p-p)/2}{V_m} = \frac{V_m - V_{dc}}{V_m} = 1 - \frac{V_{dc}}{V_m}$$

$$\frac{\sqrt{3}V_r(\text{rms})}{V_m} = 1 - \frac{V_{dc}}{V_m}$$

Utilizando a Eq. (B.9), ficamos com

$$\frac{\sqrt{3}V_r(\text{rms})}{V_m} = 1 - \frac{1}{1 + \sqrt{3}r}$$

$$\frac{V_r(\text{rms})}{V_m} = \frac{1}{\sqrt{3}} \left(1 - \frac{1}{1 + \sqrt{3}r} \right) = \frac{1}{\sqrt{3}} \left(\frac{1 + \sqrt{3}r - 1}{1 + \sqrt{3}r} \right)$$

$$\boxed{\frac{V_r(\text{rms})}{V_m} = \frac{r}{1 + \sqrt{3}r}} \quad (\text{B.10})$$

A Equação (B.10) é traçada na Fig. B.4.

Como V_{dc} é maior do que 90% de V_m para um ripple $\leq 6,5\%$,

$$\frac{V_r(\text{rms})}{V_m} \cong \frac{V_r(\text{rms})}{V_{dc}} = r \quad (\text{carga leve})$$

e podemos usar $V_r(\text{rms})/V_m = r$ para ripple $\leq 6,5\%$.

B.5 RELAÇÃO ENTRE ÂNGULO DE CONDUÇÃO, % RIPPLE, E $I_{\text{pico}}/I_{\text{dc}}$ PARA OS CIRCUITOS DE FILTRAGEM E RETIFICADOR DE MEIA-ONDA E ONDA-COMPLETA

Na Fig. B.1, podemos determinar o ângulo θ no qual o diodo começa a conduzir da seguinte forma: Como

$$v = V_m \sin \theta = V_m - V_r(p-p) \quad \text{para } \theta = \theta_1$$

$$\theta_1 = \sin^{-1} \left[1 - \frac{V_r(p-p)}{V_m} \right]$$

Usando a Eq. (B.10) e $V_r(\text{rms}) = V_r(p-p)/2\sqrt{3}$ resulta

$$\frac{V_r(p-p)}{V_m} = \frac{2\sqrt{3}V_r(\text{rms})}{V_m}$$

$$\begin{aligned} \text{tal que } 1 - \frac{V_r(p-p)}{V_m} &= 1 - \frac{2\sqrt{3}V_r(\text{rms})}{V_m} = \\ &= 1 - 2\sqrt{3} \left(\frac{r}{1 + \sqrt{3}r} \right) \\ &= \frac{1 - \sqrt{3}r}{1 + \sqrt{3}r} \end{aligned}$$

$$\boxed{\theta_1 = \sin^{-1} \frac{1 - \sqrt{3}r}{1 + \sqrt{3}r}} \quad (\text{B.11})$$

onde θ_1 é o ângulo no qual a condução se inicia.

Quando a corrente cai a zero após o carregamento das impedâncias em paralelo de R_L e C , podemos determinar que

$$\theta_2 = \pi - \tan^{-1} \omega R_L C$$

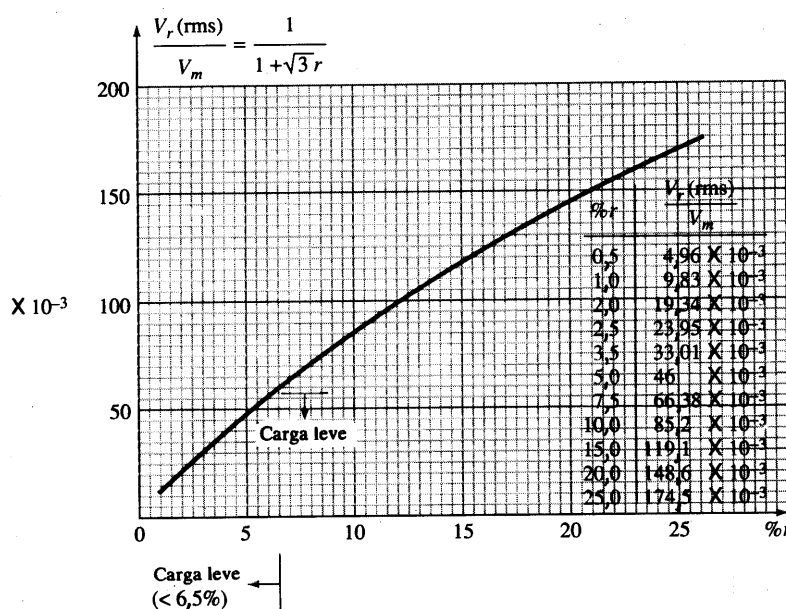
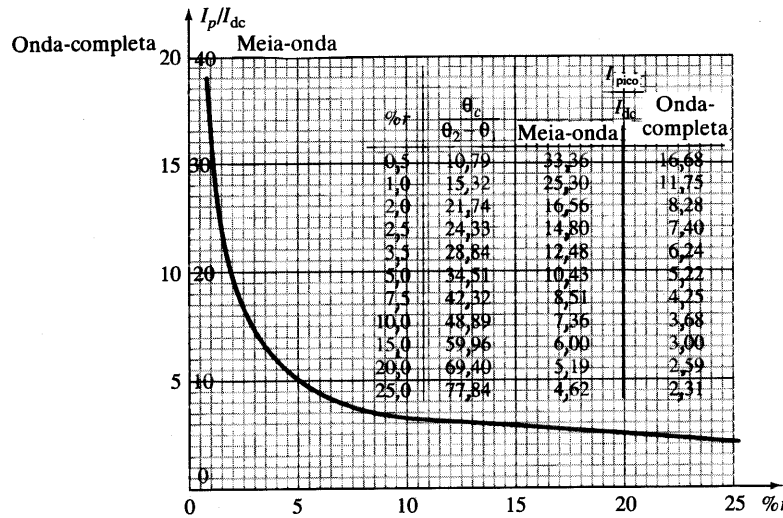


Fig. B.4 Traçado de $V_r(\text{rms})/V_m$ como função de $\% r$.



$$\theta_1 = \arcsin\left(\frac{1-\sqrt{3}r}{1+\sqrt{3}r}\right) \quad \theta_2 = \pi - \tan^{-1}\left[\frac{0,907}{r(1+\sqrt{3}r)}\right] \quad \theta_c = \theta_2 - \theta_1$$

Fig. B.5 Gráfico de I_p/I_{dc} versus $\%r$ para operação de meia-onda e onda-completa.

A expressão para $\omega R_L C$ pode ser obtida da forma abaixo:

$$r = \frac{V_r(\text{rms})}{V_{\text{dc}}} = \frac{(I_{\text{dc}}/4\sqrt{3}fC)(V_{\text{dc}}/V_m)}{V_{\text{dc}}} = \frac{V_{\text{dc}}/R_L}{4\sqrt{3}fC} \frac{1}{V_m}$$

$$= \frac{V_{\text{dc}}/V_m}{4\sqrt{3}fCR_L} = \frac{2\pi\left(\frac{1}{1+\sqrt{3}r}\right)}{4\sqrt{3}\omega CR_L}$$

tal que $\omega R_L C = \frac{2\pi}{4\sqrt{3}(1+\sqrt{3}r)r} = \frac{0,907}{r(1+\sqrt{3}r)}$

Portanto, a condução é interrompida no ângulo

$$\theta_2 = \pi - \tan^{-1}\left(\frac{0,907}{(1+\sqrt{3}r)r}\right) \quad (\text{B.12})$$

Da Eq. (16.10b), podemos escrever

$$\frac{I_{\text{pico}}}{I_{\text{dc}}} = \frac{I_p}{I_{\text{dc}}} = \frac{T}{T_1} = \frac{180^\circ}{\theta} \quad (\text{onda-completa})$$

$$= \frac{360^\circ}{\theta} \quad (\text{meia-onda}) \quad (\text{B.13})$$

A Fig. B.5 apresenta o gráfico I_p/I_{dc} como função do ripple, para a operação de meia-onda e onda-completa.

Tabelas e Quadros

C

QUADRO C.1 Alfabeto Grego e Designações mais Comuns

<i>Nome</i>	<i>Maiúscula</i>	<i>Minúscula</i>	<i>Utilizada para Designar:</i>
alfa	A	α	Ângulos, área, coeficientes
beta	B	β	Ângulos, densidade de fluxo, coeficientes
gama	Γ	γ	Condutividade, gravidade específica
delta	Δ	δ	Variação, densidade
épsilon	E	ϵ	Base do logaritmo natural
zeta	Z	ζ	Impedância, coeficiente, coordenadas
eta	H	η	Coeficiente de histerese, eficiência
teta	Θ	θ	Temperatura, ângulo de fase
iota	I	ι	
capa	K	κ	Constante dielétrica, suscetibilidade
lambda	Λ	λ	Comprimento de onda
mi	M	μ	Micro, fator de amplificação, permeabilidade
ni	N	ν	Retâlência
csi	Ξ	ξ	
ômicron	O	\circ	
pi	Π	π	Razão entre circunferência e diâmetro = 3,1416
rô	P	ρ	Resistividade
sigma	Σ	σ	Símbolo de soma
tau	T	τ	Constante de tempo, deslocamento de fase
ípsilon	Y	ν	
fi	Φ	ϕ	Fluxo magnético, ângulos
qui	X	χ	
psi	Ψ	ψ	Fluxo dielétrico, diferença de fase
ômega	Ω	ω	Maiúscula: ohms; minúscula: velocidade angular

QUADRO C.2 Valores-padrão de Resistores Comerciais Disponíveis

	<i>Ohms</i> (Ω)				<i>Kiloohms</i> ($k\Omega$)			<i>Megaohms</i> ($M\Omega$)
0,10	1,0	10	100	1000	10	100	1,0	10,0
0,11	1,1	11	110	1100	11	110	1,1	11,0
0,12	1,2	12	120	1200	12	120	1,2	12,0
0,13	1,3	13	130	1300	13	130	1,3	13,0
0,15	1,5	15	150	1500	15	150	1,5	15,0
0,16	1,6	16	160	1600	16	160	1,6	16,0
0,18	1,8	18	180	1800	18	180	1,8	18,0
0,20	2,0	20	200	2000	20	200	2,0	20,0
0,22	2,2	22	220	2200	22	220	2,2	22,0
0,24	2,4	24	240	2400	24	240	2,4	
0,27	2,7	27	270	2700	27	270	2,7	
0,30	3,0	30	300	3000	30	300	3,0	
0,33	3,3	33	330	3300	33	330	3,3	
0,36	3,6	36	360	3600	36	360	3,6	
0,39	3,9	39	390	3900	39	390	3,9	
0,43	4,3	43	430	4300	43	430	4,3	
0,47	4,7	47	470	4700	47	470	4,7	
0,51	5,1	51	510	5100	51	510	5,1	
0,56	5,6	56	560	5600	56	560	5,6	
0,62	6,2	62	620	6200	62	620	6,2	
0,68	6,8	68	680	6800	68	680	6,8	
0,75	7,5	75	750	7500	75	750	7,5	
0,82	8,2	82	820	8200	82	820	8,2	
0,91	9,1	91	910	9100	91	910	9,1	

QUADRO C.3 Valores Típicos dos Capacitores

	<i>pF</i>				<i>μF</i>			
10	100	1000	10000		0,10	1,0	10	100
12	120	1200			0,15	1,5	18	180
15	150	1500	15000		0,22	2,2	22	220
22	220	2200	22000					2200
27	270	2700						
33	330	3300	33000		0,33	3,3	33	330
39	390	3900						
47	470	4700	47000		0,47	4,7	47	470
56	560	5600						
68	680	6800	68000		0,68	6,8		
82	820	8200						

PSpice D

O PSpice é um programa de análise de circuitos elétricos popular, que permite ao usuário analisar qualquer tipo de circuito. A versão DOS exige que a entrada de dados seja feita no modo texto, enquanto a versão para Windows possibilita que se desenhe o circuito com todos os seus componentes. O programa fornece respostas, em termos de tensão e corrente, para vários pontos do circuito, apresentando inclusive gráficos de saída. Sabendo-se utilizar este programa, o projeto, a análise e até a simulação de circuitos ficam muito mais fáceis. O software PSpice, utilizado para analisar alguns problemas ao longo do livro, é produto da MicroSim Corporation.

Os programas apresentados neste livro rodam em computadores IBM-compatíveis. No entanto, o PSpice pode ainda ser executado nos sistemas VAX, SUN, MAC e outros. Este apêndice serve como auxílio para a utilização do PSpice em sistemas IBM. Para uma informação mais detalhada, existem disponíveis muitas publicações acadêmicas, manuais de fabricantes e publicações comerciais sobre o assunto.

Configuração Básica Necessária

O PSpice pode ser executado em um sistema IBM-compatível configurado adequadamente. As versões acima da 6.0 rodam com processadores 486 de qualquer velocidade e com memória RAM de, no mínimo, 4MB. A maioria das impressoras é capaz de trabalhar com o PSpice, fornecendo textos e gráficos impressos. A versão mais recente de desenvolvimento (Versão 6.2) está disponível em disquetes de 3.5'' ou em CD-ROM.

Procedimentos Gerais para a Utilização do PSpice

Para a utilização do PSpice na análise de circuitos, devemos seguir as seguintes etapas:

1. Selecione *Files* do menu principal. Escolha *New* para criar um novo circuito, ou *Open* para trabalhar com um circuito previamente criado.
2. Selecione e coloque os componentes do circuito na área de trabalho utilizando *Draw-Get New Part* da barra de menu.
3. Faça as conexões do circuito utilizando *Draw-Wire* da barra de menu.
4. Concluída a montagem do circuito, inclua os valores das fontes (dc e ac).
5. A análise é executada selecionando-se *Analysis-Setup*. Se for desejado, pode-se incluir o recurso PROBE para se obterem as formas de onda de entrada e de saída.

Nomes dos Arquivos

Os arquivos utilizados pelo PSpice adotam extensões com três letras.

.ALS	arquivo contendo os nomes e as informações dos componentes do circuito
.CIR	arquivo-texto que descreve o circuito
.DAT	arquivo contendo os dados de PROBE
.LIB	arquivo contendo a biblioteca de componentes especiais de circuito
.NET	arquivos contendo o diagrama do circuito
.OUT	arquivos contendo listagens de saída
.SCH	arquivo gráfico que descreve o circuito

Soluções para Problemas Ímpares Selecionados

E

CAPÍTULO 1

3. Condução somente em uma direção
 5. (a) $150 \text{ k}\Omega$ (b) $12,5 \text{ k}\Omega$
 (c) $800 \text{ k}\Omega$ (d) $3 \mu\Omega$
 $R_{Si}:R_{Cu} = 50 \times 10^9:1$
 9. 18 J
 21. $56,35 \text{ mA}$
 23. (b) 1 (c) Para $V = 0 \text{ V}$, $e^0 = 1$ e
 $I_D = 0 \text{ mA}$
 27. 325Ω
 29. $-10 \text{ V}:100 \text{ M}\Omega$, $-30 \text{ V}:300 \text{ M}\Omega$
 31. $R_{DC} = 76 \Omega$
 $r_d = 3 \Omega$
 $R_{DC} \gg r_d$
 33. $I_D = 1 \text{ mA}$, $r_d = 52 \Omega$ vs.
 55. $\Omega(\#32)$
 $I_D = 15 \text{ mA}$, $r_d = 1,73 \Omega$ vs.
 $2 \Omega(\#32)$
 35. $22,5 \Omega$ vs. $24,4 \Omega(\#34)$
 37. Considerando a melhor aproximação para a curva de $V_D = 0,7 \text{ V}$, $r_{av} = 4\Omega$
 39. Decresce rapidamente com o aumento da tensão da polarização reversa
 41. Escala log, $T = 25^\circ\text{C}:I_R = 0,5 \text{ nA}$
 $T = 100^\circ\text{C}:I_R = 60 \text{ nA}$
 Sim, a 95°C I_R aumentou para 64 nA
 43. $T = 25^\circ\text{C}:P_{\max} = 500 \text{ mW}$, $I_{F_{\max}} = 714,29 \text{ mA}$
 $T = 100^\circ\text{C}:P_{\max} = 260 \text{ mW}$, $I_{F_{\max}} = 371,43 \text{ mA}$
 45. (a) $V_R = -25 \text{ V}:C_T \approx 0,75 \text{ pF}$
 $V_R = -10 \text{ V}:C_T \approx 1,25 \text{ pF}$
 $\Delta C_T/\Delta V_R = 0,033 \text{ pF/V}$
 (b) $V_R = -10 \text{ V}:C_T \approx 1,25 \text{ pF}$
 $V_R = -1 \text{ V}:C_T \approx 3 \text{ pF}$
 $\Delta C_T/\Delta V_R = 0,194 \text{ pF/V}$
 (c) $0,194 \text{ pF/V}:0,033 \text{ pF/V} \approx 5,88:1$
 Sensibilidade elevada próximo de $V_D = 0 \text{ V}$
 49. $I_F = 1 \text{ mA}$, $I_R = 0,5 \text{ mA}$
 $t_s = 3 \text{ ns}$, $t_t = 6 \text{ ns}$
 51. $T_1 = 129,17^\circ$
 53. $20 \text{ V}:T_C \approx 0,06\%/\text{ }^\circ\text{C}$

CAPÍTULO 2

- 5 $\text{V}:T_C \approx -0,025\%/\text{ }^\circ\text{C}$
 55. $0,2 \text{ mA} \approx 400 \Omega$
 $1 \text{ mA} \approx 95 \Omega$, $10 \text{ mA} \approx 13 \Omega$
 Relação não linear entre I_Z e impedância dinâmica
 57. $V_F = 2,3 \text{ V}$
 59. (a) $I_{\text{pico(máx)}} = 37 \text{ mA}$
 (b) $I_{\text{pico(máx)}} = 56 \text{ mA}$

CAPÍTULO 3

33. (a) Pulso pos. de $3,28 \text{ V}$
 (b) Pulso pos. de $14,3 \text{ V}$
 35. (a) Ceifado em $4,7 \text{ V}$ (b) Corte pos. em $0,7 \text{ V}$, pico neg. = -12 V
 37. (a) 0 V a 40 V de excursão (b) -5 V a 35 V de excursão
 39. (a) 28 ms (b) $56:1$ (c) $-1,3 \text{ V}$ a $-21,3 \text{ V}$ de excursão
 41. Circuito da Fig. 2.161 com bateria invertida
 43. (a) $R_S = 20 \Omega$, $V_Z = 12 \text{ V}$
 (b) $P_{Z_{\max}} = 2,4 \text{ W}$
 45. $R_S = 0,5 \text{ k}\Omega$, $I_{ZM} = 40 \text{ mA}$
 47. $V_o = 339,36 \text{ V}$
5. Direta e reversamente polarizado
 9. $I_C = 7,921 \text{ mA}$, $I_B = 79,21 \mu\text{A}$
 11. $V_{CB} = 1 \text{ V}:V_{BE} = 800 \text{ mV}$
 $V_{CB} = 10 \text{ V}:V_{BE} = 770 \text{ mV}$
 $V_{CB} = 20 \text{ V}:V_{BE} = 750 \text{ mV}$
 Influencia pouco
 13. (a) $I_C \approx 4,5 \text{ mA}$ (b) $I_C \approx 4,5 \text{ mA}$
 (c) Desprezível (d) $I_C \approx I_E$
 15. (a) $I_C = 3,992 \text{ mA}$ (b) $\alpha = 0,993$
 (c) $I_E = 2 \text{ mA}$
 17. $A_v = 50$
 21. (a) $\beta_{dc} = 117,65$ (b) $\alpha_{dc} = 0,992$
 (c) $I_{CEO} = 0,3 \text{ mA}$ (d) $I_{CBO} = 2,4 \mu\text{A}$
 23. (a) $\beta_{dc} = 83,75$ (b) $\beta_{dc} = 170$
 (c) $\beta_{dc} = 113,33$
 25. $\beta_{dc} = 116$, $\alpha_{dc} = 0,991$,
 $I_E = 2,93 \text{ mA}$
 31. $I_C = I_{C_{\max}}$, $V_{CB} = 5 \text{ V}$
 $V_{CB} = V_{CB_{\max}}$, $I_C = 2 \text{ mA}$
 $I_C = 4 \text{ mA}$, $V_{CB} = 7,5 \text{ V}$
 $V_{CB} = 10 \text{ V}$, $I_C = 3 \text{ mA}$
 33. $I_C = I_{C_{\max}}$, $V_{CE} = 3,125 \text{ V}$
 $V_{CE} = V_{CE_{\max}}$, $I_C = 20,83 \text{ mA}$
 $I_C = 100 \text{ mA}$, $V_{CE} = 6,25 \text{ V}$
 $V_{CE} = 20 \text{ V}$, $I_C = 31,25 \text{ mA}$

35. $h_{FE} \cdot I_C = 0,1 \text{ mA}$, $h_{FE} \approx 43$
 $I_C = 10 \text{ mA}$, $h_{FE} \approx 98$
 $h_{fe} \cdot I_C = 0,1 \text{ mA}$, $h_{fe} \approx 72$
 $I_C = 10 \text{ mA}$, $h_{fe} \approx 160$
37. $I_C = 1 \text{ mA}$, $h_{fe} \approx 120$
 $I_C = 10 \text{ mA}$, $h_{fe} \approx 160$
39. (a) $\beta_{ac} = 190$ (b) $\beta_{dc} = 201,7$
(c) $\beta_{ac} = 200$ (d) $\beta_{dc} = 230,77$ (e) Sim

CAPÍTULO 4

1. (a) $I_{B_Q} = 32,55 \mu\text{A}$ (b) $I_{C_Q} = 2,93 \text{ mA}$ (c) $V_{CE_Q} = 8,09 \text{ V}$ (d) $V_C = 8,09 \text{ V}$ (e) $V_B = 0,7 \text{ V}$ (f) $V_E = 0 \text{ V}$
3. (a) $I_C = 3,98 \text{ mA}$ (b) $V_{CC} = 15,96 \text{ V}$ (c) $\beta = 199$ (d) $R_B = 763 \text{ k}\Omega$
5. (b) $R_B = 812 \text{ k}\Omega$ (c) $I_{C_Q} = 3,4 \text{ mA}$, $V_{CE_Q} = 10,75 \text{ V}$ (d) $\beta_{dc} = 136$ (e) $\alpha = 0,992$ (f) $I_{C_{sat}} = 7 \text{ mA}$
(h) $P_D = 36,55 \text{ mW}$ (i) $P_s = 71,92 \text{ mW}$ (j) $P_R = 35,37 \text{ mW}$
7. (a) $R_C = 2,2 \text{ k}\Omega$ (b) $R_E = 1,2 \text{ k}\Omega$
(c) $R_B = 356 \text{ k}\Omega$ (d) $V_{CE} = 5,2 \text{ V}$
(e) $V_B = 3,1 \text{ V}$
9. $I_{C_{sat}} = 5,13 \text{ mA}$
11. (a) $I_C = 2,93 \text{ mA}$, $V_{CE} = 8,09 \text{ V}$
(b) $I_C = 4,39 \text{ mA}$, $V_{CE} = 4,15 \text{ V}$
(c) $\% \Delta I_C = 49,83\%$, $\% \Delta V_{CE} = 48,70\%$
(d) $I_C = 2,92 \text{ mA}$, $V_{CE} = 8,61 \text{ V}$
(e) $I_C = 3,93 \text{ mA}$, $V_{CE} = 4,67 \text{ V}$
(f) $\% \Delta I_C = 34,59\%$, $\% \Delta V_{CE} = 46,76\%$
13. (a) $I_C = 1,28 \text{ mA}$ (b) $V_E = 1,54 \text{ V}$
(c) $V_B = 2,24 \text{ V}$ (d) $R_1 = 39,4 \text{ k}\Omega$
15. $I_{C_{sat}} = 3,49 \text{ mA}$
17. (a) $I_C = 2,28 \text{ mA}$ (b) $V_{CE} = 8,2 \text{ V}$
(c) $I_B = 19,02 \mu\text{A}$ (d) $V_E = 2,28 \text{ V}$
(e) $V_B = 2,98 \text{ V}$ É válida a análise
aproximada
19. (a) $R_C = 2,4 \text{ k}\Omega$, $R_E = 0,8 \text{ k}\Omega$
(b) $V_E = 4 \text{ V}$ (c) $V_B = 4,7 \text{ V}$ (d) $R_2 = 5,84 \text{ k}\Omega$ (e) $\beta_{dc} = 129,8$
(f) $103,84 \text{ k}\Omega \geq 58,4 \text{ k}\Omega$ (confirma)

21. I. (a) $I_C = 2,43 \text{ mA}$,
 $V_{CE} = 7,55 \text{ V}$
(b) $I_C = 2,33 \text{ mA}$, $V_{CE} = 7,98 \text{ V}$
(c) Método aprox.: $\% \Delta I_C = 0\%$,
 $\% \Delta V_{CE} = 0\%$
Método exato: $\% \Delta I_C = 2,19\%$,
 $\% \Delta V_{CE} = 2,68\%$
(d) $\% \Delta I_C = 2,19\%$ vs. $49,83\%$ para
Prob. 11, $\% \Delta V_{CE} = 2,68\%$ vs.
49,70% para Prob. 11
(e) Configuração divisor de tensão é a menos
sensível
II. $\% \Delta I_C$ e $\% \Delta V_{CE}$ são muito pequenos
23. (a) $I_C = 2,01 \text{ mA}$ (b) $V_C = 17,54 \text{ V}$ (c) $V_E = 3,02 \text{ V}$ (d) $V_{CE} = 14,52 \text{ V}$

25. V_C de 5,98 V a 8,31 V
27. (a) $I_B = 13,04 \mu\text{A}$ (b) $I_C = 2,56 \text{ mA}$ (c) $\beta = 196,32$
(d) $V_{CE} = 8 \text{ V}$
29. (a) $I_B = 13,95 \mu\text{A}$ (b) $I_C = 1,81 \text{ mA}$ (c) $V_E = -4,42 \text{ V}$ (d) $V_{CE} = 5,95 \text{ V}$
31. (a) $I_E = 3,32 \text{ mA}$ (b) $V_C = 4,02 \text{ V}$
(c) $V_{CE} = 4,72 \text{ V}$
33. $R_B = 430 \text{ k}\Omega$, $R_C = 1,6 \text{ k}\Omega$,
 $R_E = 390 \text{ }\Omega$
35. $R_E = 1,1 \text{ k}\Omega$, $R_C = 1,6 \text{ k}\Omega$,
 $R_1 = 51 \text{ k}\Omega$, $R_2 = 15 \text{ k}\Omega$
37. $R_B = 43 \text{ k}\Omega$, $R_C = 0,62 \text{ k}\Omega$
39. (a) Circuito aberto, transistor danificado
(b) Aberto no terminal de coletor, junção base-emissor em curto
(c) Circuito aberto, transistor aberto
41. (a) $R_B \downarrow$, $I_B \downarrow$, $I_C \downarrow$, $V_C \uparrow$
(b) $\beta \downarrow$, $I_C \downarrow$ (c) Inalterado
(d) $V_{CC} \downarrow$, $I_B \downarrow$, $I_C \downarrow$
(e) $\beta \downarrow$, $I_C \downarrow$, $V_{R_C} \downarrow$, $V_{R_E} \downarrow$, $V_{CE} \uparrow$
43. (a) R_B aberto, $I_B = 0 \mu\text{A}$, $I_C = I_{CEO} \approx 0 \text{ mA}$, $V_C \cong V_{CC} = 18 \text{ V}$
(b) $\beta \uparrow$, $I_C \uparrow$, $V_{R_C} \uparrow$, $V_{R_E} \uparrow$, $V_{CE} \downarrow$
(c) $R_C \downarrow$, $I_B \uparrow$, $I_C \uparrow$, $V_E \uparrow$
(d) Cai para uma tensão relativamente baixa
 $\approx 0,06 \text{ V}$
(e) Terminal de base aberto
45. $V_C = -13,53 \text{ V}$, $I_B = 17,5 \mu\text{A}$
47. (a) $S(I_{CO}) = 91$ (b) $S(V_{BE}) = -1,92 \times 10^{-4} \text{ S}$ (c) $S(\beta) = 32,56 \times 10^{-6} \text{ A}$ (d) $\Delta I_C = 1,66 \text{ mA}$
49. (a) $S(I_{CO}) = 11,08$ (b) $S(V_{BE}) = -1,27 \times 10^{-3} \text{ S}$ (c) $S(\beta) = 2,41 \times 10^{-6} \text{ A}$ (d) $\Delta I_C = 0,411 \text{ mA}$
51. $S(I_{CO})$ — Divisor de tensão menor do que os outros três
 $S(V_{BE})$ — Divisor de tensão mais sensível do que os outros três (que apresentam níveis próximos)
 $S(\beta)$ — Divisor de tensão é o menos sensível, com a configuração de polarização fixa mais sensível
Em geral a configuração com divisor de tensão é a menos sensível, e a configuração com polarização fixa é a mais sensível.

21. $I_D = 4 \text{ mA}$ (exatamente de acordo)
29. $I_{DSS} = 11,11 \text{ mA}$
31. $V_{DS} = 25 \text{ V}$
35. $V_T = 2 \text{ V}$, $k = 5,31 \times 10^{-4}$
 $I_D = 5,31 \times 10^{-4} (V_{GS} - 2 \text{ V})^2$
37. $V_{GS} = 27,36 \text{ V}$
- CAPÍTULO 6
1. (c) $I_{D_Q} \approx 4,7 \text{ mA}$, $V_{DS_Q} = 6,36 \text{ V}$
(d) $I_{D_Q} = 4,69 \text{ mA}$, $V_{DS_Q} = 6,37 \text{ V}$
3. (a) $I_D = 3,125 \text{ mA}$ (b) $V_{DS} = 9 \text{ V}$
(c) $V_{GG} = 1,5 \text{ V}$
5. $V_D = 18 \text{ V}$
7. $I_{D_Q} = 2,6 \text{ mA}$, $V_{GS} = -1,95 \text{ V}$
9. (a) $I_{D_Q} = 3,33 \text{ mA}$ (b) $V_{GS_Q} \approx -1,7 \text{ V}$ (c) $I_{DSS} = 10,06 \text{ mA}$ (d) $V_D = 11,34 \text{ V}$ (e) $V_{DS} = 9,64 \text{ V}$
11. $V_S = 1,4 \text{ V}$
13. (a) $I_{D_Q} \approx 5,8 \text{ mA}$, $V_{GS_Q} = -0,85 \text{ V}$, $I_{D_Q} \uparrow$, $V_{GS_Q} \downarrow$ (b) 216Ω
15. (a) $I_{D_Q} = 2,7 \text{ mA}$, $V_{GS_Q} = -2 \text{ V}$
(b) $V_{DS} = 8,12 \text{ V}$, $V_S = 2 \text{ V}$
17. (a) $I_{D_Q} = 2,9 \text{ mA}$, $V_{GS_Q} = -1,2 \text{ V}$
(b) $V_{DS} = 9,27 \text{ V}$, $V_D = 10,52 \text{ V}$
19. (a) $I_{D_Q} \approx 8,25 \text{ mA}$ (b) $V_{GS_Q} = V_{DS_Q} = 7,9 \text{ V}$ (c) $V_D = 12,1 \text{ V}$, $V_S = 4,21 \text{ V}$ (d) $V_{DS} = 7,89 \text{ V}$
21. (a) $V_G \approx 3,3 \text{ V}$ (b) $V_{GS_Q} = -1,25 \text{ V}$, $I_{D_Q} = 3,75 \text{ mA}$ (c) $I_E = 3,75 \text{ mA}$ (d) $I_B = 23,44 \mu\text{A}$ (e) $V_D = 11,56 \text{ V}$ (f) $V_C = 15,88 \text{ V}$
23. $R_S = 0,43 \text{ k}\Omega$, $R_D = 1,3 \text{ k}\Omega$
25. $R_D = 0,75 \text{ k}\Omega$, $R_G = 10 \text{ M}\Omega$
27. D-S em curto-círcuito; I_{DSS} ou V_p ou combinação com valores mais altos na prática do que o especificado.
29. (a) $I_{D_Q} = 3 \text{ mA}$, $V_{GS_Q} = 1,55 \text{ V}$
(b) $V_{DS} = -9,87 \text{ V}$ (c) $V_D = -11,4 \text{ V}$
31. $I_{D_Q} = 4,68 \text{ mA}$ vs. $4,69 \text{ mA}$ de #1, $V_{DS_Q} = 6,38 \text{ V}$ vs. $6,37 \text{ V}$ de #1
33. $I_{D_Q} = 3,3 \text{ mA}$ (igual), $V_{GS_Q} = -1,47 \text{ V}$ vs. $-1,5 \text{ V}$ de #12

CAPÍTULO 7

1. (a) 0 (b) Clipping (c) 80,4%
3. $1 \text{ kHz}: X_C = 15,92 \Omega$
100 $\text{kHz}: X_C = 0,1592 \Omega$
Sim, melhor em 100 kHz
7. (a) $Z_o = 50 \text{ k}\Omega$ (b) $I_L = 5,747 \text{ mA}$
9. (a) $I_i = 8 \mu\text{A}$ (b) $Z_i = 500 \Omega$
(c) $V_o = -720 \text{ mV}$ (d) $I_o = 1,41 \text{ mA}$
(e) $A_i = 176,25$ (f) $A_i = 176,47$
11. (a) $r_e = 15 \Omega$ (b) $Z_i = 15 \Omega$
(c) $I_c = 3,168 \text{ mA}$ (d) $V_o = 6,97 \text{ V}$
(e) $A_v = 145,21$ (f) $I_b = 32 \mu\text{A}$
13. (a) $r_e = 8,571 \Omega$ (b) $I_b = 25 \mu\text{A}$
(c) $I_c = 3,5 \text{ mA}$ (d) $A_i = 132,84$
(e) $A_v = -298,89$

- 19.** (a) $V_o = -160 V_i$ (b) $I_b = 9,68 \times 10^{-4} V_i$ (c) $I_b = 1 \times 10^{-3} V_i$ (d) 3,2%

(e) Primeira aproximação válida

- 21.** (a) $V_o = -180 V_i$ (b) $I_b = 2,32 \times 10^{-4} V_i$ (c) $I_b = 2,5 \times 10^{-4} V_i$

(d) 7,2% (e) Sim, menor do que 10%

- 23.** (a) $h_{fe} = 100$ (b) $h_{ie} = 120$

- 25.** (a) $h_{ie} = 1,5 \text{ k}\Omega$ (b) $h_{ie} = 6,5 \text{ k}\Omega$

- 27.** $h_{fe} = 100$, $h_{ie} = 2 \text{ k}\Omega$

- 29.** $r_e = 15 \Omega$, $\beta = 100$, $r_o = 30,3 \text{ k}\Omega$

- 31.** (a) 75% (b) 70%

- 33.** (a) $h_{oe} = 200 \mu\text{S}$ (b) 5 kΩ, não é uma boa aproximação

- 35.** (a) h_{fe} (b) h_{oe}

(c) Máximo: $h_{oe} \approx 30$ (normalizado)

Mínimo: $h_{oe} \approx 0,1$ (normalizado)

Para I_C pequeno

(d) Região média

CAPÍTULO 8

- 1.** (a) $Z_i = 497,47 \Omega$, $Z_o = 2,2 \text{ k}\Omega$

- (b) $A_v = -264,74$, $A_i = 60$

- (c) $Z_i = 497,47 \Omega$, $Z_o = 1,98 \text{ k}\Omega$

- (d) $A_v = -238,27$, $A_i = 53,88 \Omega$

- 3.** (a) $I_B = 23,85 \mu\text{A}$, $I_C = 2,38 \text{ mA}$, $r_e = 10,79 \Omega$

- (b) $Z_i = 1,08 \text{ k}\Omega$, $Z_o = 4,3 \text{ k}\Omega$

- (c) $A_v = -398,52$, $A_i = 100$

- (d) $A_v = -348,47$, $A_i = 87,52$

- 5.** $V_{CC} = 30,68 \text{ V}$

- 7.** (a) $r_e = 5,34 \Omega$

- (b) $Z_i = 118,37 \text{ k}\Omega$, $Z_o = 2,2 \text{ k}\Omega$

- (c) $A_v = -1,81$, $A_i = 97,39$

- (d) $Z_i = 105,95 \text{ k}\Omega$, $Z_o = 2,2 \text{ k}\Omega$, $A_v = -1,81$, $A_i = 87,17$

- 9.** (a) $r_e = 5,34 \Omega$

- (b) $Z_i = 746,17 \Omega$, $Z_o = 2,2 \text{ k}\Omega$

- (c) $A_v = -411,99$, $A_i = 139,73$

- (d) $Z_i = 746,17 \Omega$, $Z_o = 1,98 \text{ k}\Omega$

- $A_v = -370,79$, $A_i = 125,76$

- 11.** (a) $r_e = 8,72 \Omega$, $\beta r_e = 959,2 \Omega$

- (b) $Z_i = 142,25 \text{ k}\Omega$, $Z_o = 8,69 \Omega$

- (c) $A_v = 0,997$, $A_i = -52,53$

- 13.** (a) $I_B = 4,61 \mu\text{A}$, $I_C = 0,922 \text{ mA}$

- (b) $r_e = 28,05 \Omega$

- (c) $Z_i = 7,03 \text{ k}\Omega$, $Z_o = 27,66 \Omega$

- (d) $A_v = 0,986$, $A_i = -3,47$

- 15.** $A_v = 163,2$, $A_i = 0,9868$

- 17.** $R_C = 1,6 \text{ k}\Omega$, $R_F = 33,59 \text{ k}\Omega$,

- $V_{CC} = 5,28 \text{ V}$

- 19.** (a) $Z_i = 0,62 \text{ k}\Omega$, $Z_o = 1,66 \text{ k}\Omega$

- (b) $A_v = -209,82$, $A_i = 72,27$

- 21.** (a) $r_e = 8,31 \Omega$

- (b) $h_{fe} = 60$, $h_{ie} = 498,6 \Omega$

- (c) $Z_i = 497,47 \Omega$, $Z_o = 2,2 \text{ k}\Omega$

- (d) $A_v = -264,74$, $A_i = 56,73$

- (e) $Z_i = 497,47 \Omega$, $Z_o = 1,98 \text{ k}\Omega$

- (f) $A_v = -238,27$, $A_i = 53,88$

- 23.** (a) $Z_i = 9,38 \Omega$, $Z_o = 2,7 \text{ k}\Omega$

- (b) $A_v = 283,43$, $A_i = -1$

- (c) $\alpha = 0,992$, $\beta = 124$, $r_e = 9,45 \Omega$, $r_o = 1 \text{ M}\Omega$

- 25.** (a) $Z_i = 816,21 \Omega$

- (b) $A_v = -357,68$

- (c) $A_i = 132,43$

- (d) $Z_o = 2,14 \text{ k}\Omega$

- 27.** (a) Não! (b) R_2 desconectado na base

CAPÍTULO 9

- 1.** $g_{m0} = 6 \text{ mS}$

- 3.** $I_{DSS} = 8,75 \text{ mA}$

- 5.** $I_{DSS} = 12,5 \text{ mA}$

- 7.** $g_{m0} = 2,4 \text{ mS}$

- 9.** $Z_o = 40 \text{ k}\Omega$, $A_v = -180$

- 11.** (a) $g_{m0} = 4 \text{ mS}$, (b) $g_m = 2,8 \text{ mS}$

- (c) $g_m = 2 \text{ mS}$ (d) 2 mS (e) 2 mS

- 13.** $g_m = 0,75 \text{ mS}$, $r_d = 100 \text{ k}\Omega$

- 15.** $g_m = 5,6 \text{ mS}$, $r_d = 66,7 \text{ k}\Omega$

- 17.** $Z_i = 1 \text{ M}\Omega$, $Z_o = 1,72 \text{ k}\Omega$, $A_v = -5,375$

- 19.** $Z_i = 10 \text{ M}\Omega$, $Z_o = 2,83 \text{ k}\Omega$, $A_v = -8,49$

- 21.** $Z_i = 1 \text{ M}\Omega$, $Z_o = 730 \Omega$, $A_v = -2,19$

- 23.** $Z_i = 9,7 \text{ M}\Omega$, $Z_o = 1,96 \text{ k}\Omega$, $V_o = -214,4 \text{ mV}$

- 25.** $Z_i = 9,7 \text{ M}\Omega$, $Z_o = 1,82 \text{ k}\Omega$, $A_v = 198,8 \text{ mV}$

- 27.** $Z_i = 10 \text{ M}\Omega$, $Z_o = 512,9 \Omega$, $A_v = 0,754$

- 29.** $Z_i = 10 \text{ M}\Omega$, $Z_o \approx 1 \text{ k}\Omega$, $A_v = 0,66$

- 31.** $Z_i = 386,1 \Omega$, $Z_o = 2,92 \text{ k}\Omega$, $V_o = 0,636 \text{ mV}$

- 33.** 11,73 mV

- 35.** $Z_i = 10 \text{ M}\Omega$, $Z_o = 1,68 \text{ k}\Omega$, $A_v = -9,07$

- 37.** $Z_i = 9 \text{ M}\Omega$, $Z_o = 242,1 \Omega$

- $A_v = 0,816$

- 39.** $Z_i = 1,73 \text{ M}\Omega$, $Z_o = 2,15 \text{ k}\Omega$, $A_v = 4,77$

- 41.** 203 mV

- 43.** -3,51 mV

- 45.** $R_s = 180 \Omega$, $R_D = 2 \text{ k}\Omega$

CAPÍTULO 10

- 1.** (a) $A_{vNL} = -326,22$, $Z_i =$

- 1,01 kΩ, $Z_o = 3,3 \text{ k}\Omega$

- (c) $A_v = -191,65$

- (d) $A_i = 41,18$

- (e) O mesmo

- 3.** $R_L = 4,7 \text{ k}\Omega$: $A_v = -191,65$

- $R_L = 2,2 \text{ k}\Omega$: $A_v = -130,49$

- $R_L = 0,5 \text{ k}\Omega$: $A_v = -42,42$

Como $R_L \downarrow$, $A_v \downarrow$

- 5.** (a) $A_{vNL} = -557,36$, $Z_i =$

- 616,52 Ω, $Z_o = 4,3 \text{ k}\Omega$

- (c) $A_v = -214,98$, $A_{vs} = -81,91$

- (d) $A_i = 49,04$

- (e) $A_{vs} = -120,12$, Como $R_L \uparrow$, $A_{vs} \uparrow$

- (f) $A_{vs} = -118,67$, Como $R_s \downarrow$, $A_{vs} \uparrow$

- (g) Inalterado

- 7.** (b) $A_v = -160$ vs. $-162,4$ (#6)

- 9.** (a) $A_{vNL} = -3,61$, $Z_i = 81,17 \text{ k}\Omega$, $Z_o = 3 \text{ k}\Omega$

- (c) $A_v = -2,2$, $A_{vs} = -2,18$

- (d) Nenhuma

- (e) $A_v = \text{nenhuma}$, $A_{vs} = -2,17$, quando $R_s \uparrow$, $A_{vs} \downarrow$ (muito pouco alterado para variações moderadas de R_s , uma vez que Z_i é normalmente muito grande)

- 11.** (a) $Z_i = 10,74 \Omega$, $Z_o = 4,7 \text{ k}\Omega$, $A_{vNL} = 435,59$

- (c) $A_v = 236,83$, $A_{vs} = 22,97$

- (d) O mesmo

- (e) $A_v = 138,88$, $A_{vs} = 2,92$, A_{vs} bastante sensível a um aumento em R_s devido ao pequeno Z_p , $R_L \downarrow$, $A_v \downarrow$, $A_{vs} \downarrow$

- 13.** (a) $A_{vNL} = 0,737$, $Z_i = 2 \text{ M}\Omega$, $Z_o = 0,867 \text{ k}\Omega$

- (c) $A_{vs} \approx A_v = 0,529$

- (d) $A_{vs} \approx A_v = 0,622$,

- $R_L \uparrow$, $A_{vs} \approx A_v \uparrow$

- (e) Pouco efeito já que $R_i \gg R_{sig}$

- (f) Não altera Z_i ou Z_o

- 15.** (a) $A_{v1} = -97,67$, $A_{v2} = -189$

- (b) $A_{vt} = 18,46 \times 10^3$,

- $A_{v_{(t)}} = 11,54 \times 10^3$

- (c) $A_{i1} = 97,67$, $A_{i2} = 70$

- (d) $A_{it} = 6,84 \times 10^3$

- (e) Sem efeito

- (f) Sem efeito

- (g) Em fase

CAPÍTULO 11

- 1.** (a) 3, 1,699, -0,151 (b) 6,908, 3,912, -0,347 (c) Os resultados diferem por um fator de 2,3

- 3.** (a) Igual: 13,98 (b) Igual: -13,01; (c) Igual: 0,699

- 5.** $G_{dBm} = 43,98 \text{ dBm}$

- 7.** $G_{dB} = 67,96 \text{ dB}$

- 9.** (a) $G_{dB} = 69,83 \text{ dB}$ (b) $G_v = 82,83 \text{ dB}$ (c) $R_i = 2 \text{ k}\Omega$ (d) $V_o = 1385,64 \text{ V}$

- 11.** (a) $|A_v| = 1/\sqrt{1 + (1950,43 \text{ Hz}/f)^2}$

- (b) 100 Hz: $|A_v| = 0,051$

- 1 kHz: $|A_v| = 0,456$

- 2 kHz: $|A_v| = 0,716$

- 5 kHz: $|A_v| = 0,932$

- 10 kHz: $|A_v| = 0,982$

- (c) $f_1 = 1950,43 \text{ Hz}$

- 13.** (a) 10 kHz (b) 1 kHz (c) 5 kHz

- (d) 100 kHz

- 15.** (a) $r_e = 28,48 \Omega$

- (b) $A_{vmid} = -72,91$

- (c) $Z_i = 2,455 \text{ k}\Omega$

- (d) $A_{vs} = -54,68$

- (e) $f_{Ls} = 103,4 \text{ Hz}$, $f_{Lc} = 38,05 \text{ Hz}$,

- $f_{Lr} = 235,79 \text{ Hz}$

- (f) $f_1 \approx f_{L_E}$
17. (a) $r_e = 30,23 \Omega$
(b) $A_{v_{mid}} \approx 0,983$
(c) $Z_i = 21,13 \text{ k}\Omega$
(d) $A_{v_{mid}} \approx 0,955$
(e) $f_L = 71,92 \text{ Hz}$, $f_{L_C} = 193,16 \text{ Hz}$
(f) $f_1 \approx f_{L_C}$; $f_1 \approx 210 \text{ Hz}$ (PSpice)
19. (a) $V_{GS_Q} = -2,45 \text{ V}$, $I_{D_Q} = 2,1 \text{ mA}$
(b) $g_{mo} = 2 \text{ mS}$, $g_m = 1,18 \text{ mS}$
(c) $A_{v_{mid}} = -2$
(d) $Z_i = 1 \text{ M}\Omega$
(e) $A_{v_s} \approx A_v = -2$
(f) $f_{L_C} = 1,59 \text{ Hz}$, $f_{L_C} = 4,91 \text{ Hz}$,
 $f_{L_S} = 32,04 \text{ Hz}$
(g) $f_1 \approx 32 \text{ Hz}$
21. (a) $V_{GS_Q} = -2,55 \text{ V}$, $I_{D_Q} = 3,3 \text{ mA}$
(b) $g_{mo} = 3,33 \text{ mS}$, $g_m = 1,91 \text{ mS}$
(c) $A_{v_{mid}} = -4,39$
(d) $Z_i = 51,94 \text{ k}\Omega$
(e) $A_{v_{mid}} = -4,27$
(f) $f_{L_G} = 2,98 \text{ Hz}$, $f_{L_C} = 2,46 \text{ Hz}$,
 $f_{L_S} = 41 \text{ Hz}$
(g) $f_1 \approx f_{L_S} = 41 \text{ Hz}$
 Z_i consideravelmente menor, mas ainda suficientemente maior do que R_{sig} para produzir quase nenhum efeito sobre A_{v_s} ; Z_i pequeno; entretanto, pode aumentar o valor de f_{L_G}
23. (a) $f_{H_i} \approx 293 \text{ kHz}$, $f_{H_o} = 3,22 \text{ MHz}$
(b) $f_\beta = 8,03 \text{ MHz}$, $f_T = 883,3 \text{ MHz}$
25. (a) $f_{H_i} \approx 584 \text{ MHz}$, $f_{H_o} = 2,93 \text{ MHz}$
(b) $f_\beta = 5,01 \text{ MHz}$, $f_T = 400,8 \text{ MHz}$
27. (a) $g_{mo} = 3,33 \text{ mS}$, $g_m = 1,91 \text{ mS}$
(b) $A_{v_{mid}} = -4,39$, $A_{v_{mid}} = -4,27$
(c) $f_{H_i} = 1,84 \text{ MHz}$, $f_{H_o} = 3,68 \text{ MHz}$
29. $f'_2 = 1,09 \text{ MHz}$
31. (a) $v = 12,73 \times 10^{-3} \text{ sen } 2\pi(100 \times 10^3)t + \frac{1}{3} \text{ sen } 2\pi(300 \times 10^3)t + \frac{1}{5} \text{ sen } 2\pi(500 \times 10^3)t + \frac{1}{7} \text{ sen } 2\pi(700 \times 10^3)t + \frac{1}{9} \text{ sen } 2\pi(900 \times 10^3)t$ (b) BW = 500 kHz (c) $f_{L_o} \approx 3,53 \text{ kHz}$

CAPÍTULO 12

- 1.** $V_G = 0 \text{ V}$, $V_S = 1,4 \text{ V}$, $V_D = 9,86 \text{ V}$
3. $V_G = 0 \text{ V}$, $V_S = 1,4 \text{ V}$, $V_D = 10,3 \text{ V}$
5. $Z_i = 10 \text{ M}\Omega$, $Z_o = 2,1 \text{ k}\Omega$
7. $A_{V1} = -75,8$, $A_{V2} = -311,9$,
 $A_V = 23,642$
9. $V_B = 2,55 \text{ V}$, $V_E = 1,85 \text{ V}$,
 $V_C = 2,7 \text{ V}$, $I_C = 0,84 \text{ mA}$
11. $Z_i = 10 \text{ M}\Omega$, $Z_o = 2,7 \text{ k}\Omega$
13. $A_V = -214$, $V_o = -2,14 \text{ V}$
15. $V_{E2} = 8,06 \text{ V}$, $I_{E2} = 15,8 \text{ mA}$

- 17.** $V_{B1} = 4,88 \text{ V}$, $V_{C2} = 5,58 \text{ V}$,
 $I_C = 104,2 \text{ mA}$
19. (a) Q_1 on, Q_2 on, Q_3 off, Q_4 off
(b) Q_1 off, Q_2 off, Q_3 on, Q_4 on
(c) Q_1 on, Q_2 off, Q_3 on, Q_4 off
21. $I_D = 6 \text{ mA}$
23. $I = 3,67 \text{ mA}$
25. $I = 2 \text{ mA}$
27. $I_C = 1 \text{ mA}$, $V_C = 0 \text{ V}$
29. $V_o = 1,89 \text{ V}$

CAPÍTULO 14

- 1.** $\text{CMRR} = 75,56 \text{ dB}$
3. $V_o = -18,75 \text{ V}$
5. $V_i = -40 \text{ mV}$
7. $V_o = -9,3 \text{ V}$
9. V_o varia de 5,5 V a 10,5 V
11. $V_o = -3,39 \text{ V}$
13. $V_o = 0,5 \text{ V}$
15. $V_2 = -2 \text{ V}$, $V_3 = 4,2 \text{ V}$
17. $V_o = 6,4 \text{ V}$
19. $I_{IB}^+ = 22 \text{ nA}$, $I_{IB}^- = 18 \text{ nA}$
21. $A_{CL} = 80$
23. V_o (deslocamento) = 105 mV

CAPÍTULO 15

- 1.** $V_o = -175 \text{ mV}$, rms
3. $V_o = 412 \text{ mV}$
7. $V_o = -2,5 \text{ V}$
11. $I_L = 6 \text{ mA}$
13. $I_o = 0,5 \text{ mA}$
15. $f_{OH} = 1,45 \text{ kHz}$
17. $f_{OL} = 318,3 \text{ Hz}$, $f_{OH} = 397,9 \text{ Hz}$

CAPÍTULO 16

- 1.** $P_i = 10,4 \text{ W}$, $P_o = 640 \text{ mW}$
3. $P_o = 2,1 \text{ W}$
5. $R(\text{eff}) = 2,5 \text{ k}\Omega$
7. $a = 44,7$
9. $\% \eta = 37\%$
13. (a) Máximo $P_i = 49,7 \text{ W}$
(b) Máximo $P_o = 39,06 \text{ W}$
(c) Máximo $\% \eta = 78,5\%$
17. (a) $P_i = 27 \text{ W}$ (b) $P_o = 8 \text{ W}$
(c) $\% \eta = 29,6\%$ (d) $P_{2Q} = 19 \text{ W}$
19. $\% D_2 = 14,3\%$, $\% D_3 = 4,8\%$,
 $\% D_4 = 2,4\%$
21. $\% D_2 = 6,8\%$
23. $P_D = 25 \text{ W}$
25. $P_D = 3 \text{ W}$

CAPÍTULO 17

- 9.** $V_o = 13 \text{ V}$
13. Período = 204,8 μs

- 17.** $f_o = 60 \text{ kHz}$
19. $C = 133 \text{ pF}$
21. $C_1 = 300 \text{ pF}$

CAPÍTULO 18

- 1.** $A_f = -9,95$
3. $A_f = -14,3$, $R_{if} = 31,5 \text{ k}\Omega$, $R_{of} = 2,4 \text{ k}\Omega$
5. Sem realimentação: $A_v = -303,2$, $Z_i = 1,18 \text{ k}\Omega$, $Z_o = 4,7 \text{ k}\Omega$
Com realimentação: $A_{vf} = -3,82$, $Z_{if} = 45,8 \text{ k}\Omega$
7. $f_o = 4,2 \text{ kHz}$
9. $f_o = 1,05 \text{ MHz}$
11. $f_o = 159,2 \text{ kHz}$

CAPÍTULO 19

- 1.** Fator de ripple = 0,028
3. Tensão de ripple = 24,2 V
5. $V_r = 1,2 \text{ V}$
7. $V_r = 0,6 \text{ V}$ rms, $V_{dc} = 17 \text{ V}$
9. $V_r = 0,12 \text{ V}$ rms
11. $V_m = 13,7 \text{ V}$
13. $\% r = 7,2\%$
15. $\% r = 8,3\%$, $\% r' = 3,1\%$
17. $V_r = 0,325 \text{ V}$ rms
19. $V_o = 7,6 \text{ V}$, $I_Z = 3,66 \text{ mA}$
21. $V_o = 24,6 \text{ V}$
25. $I_{dc} = 225 \text{ mA}$
27. $V_o = 9,9 \text{ V}$

CAPÍTULO 20

- 3.** 30:1 ou melhor é típico, curto período de tempo, tipo de encapsulamento
5. 124% de aumento $V_R \approx 25 \text{ V}$
7. (a) $C_T = 4185 \text{ pF}$ (b) $k = 71 \times 10^{-12}$
9. (a) $C = 5,17 \text{ pF}$ (b) Gráfico
 $C \approx 5 \text{ pF}$
11. $T_1 = 50^\circ\text{C}$
13. $Q = 26,93$, Q cai significativamente com aumento da freqüência
19. $I_T = 5 \text{ mA}$, $V_T = 60 \text{ mV}$
 $I_T = 2,8 \text{ mA}$, $V_T = 900 \text{ mV}$
21. $f_p = 2228 \text{ Hz}$
23. (a) $3750 \text{ \AA} \rightarrow 7500 \text{ \AA}$
(b) $\approx 8400 \text{ \AA}$ (c) BW = 4200 \AA
25. (a) Silício (b) Laranja
27. (a) $\approx 0,9 \text{ \Omega/fc}$ (b) $\approx 380 \text{ \Omega/fc}$
(c) $\approx 78 \text{ k}\Omega/\text{fc}$ Região de iluminação reduzida
29. $V_i = 21 \text{ V}$
31. Quando fc aumenta, t , e t_d diminuem exponencialmente
33. (a) $\Phi = 5 \text{ mW}$ (b) 2,27 lm
35. $\Phi = 3,44 \text{ mW}$
41. Níveis menores

45. $R \approx 20 \text{ k}\Omega$ **47.** R (termistor) = 90Ω **CAPÍTULO 21****5.** (a) Sim (b) Não (c) Não (d) Sim, não**11.** (a) $\approx 0,7 \text{ mW/cm}^2$ (b) 82,35%**17.** (a) $R_{B_2} = 1,08 \text{ k}\Omega$ (b) $R_{BB} = 3,08 \text{ k}\Omega$ (c) $V_{R_{B_1}} = 13 \text{ V}$ (d) $V_P = 13,7 \text{ V}$ **19.** $I_B = 25 \mu\text{A}$, $I_C = 1 \text{ mA}$ **21.** (a) Para temperaturas decrescentes,
-0,53 %/C° (b) Sim**23.** $I_C/I_F = 0,44$ Relativamente eficiente**25.** (a) $I_C \geq 3 \text{ mA}$ (b) $\Delta R : \Delta t \approx 2,3 : 1$ **27.** $Z_P = 87 \text{ k}\Omega$, $Z_V = 181,8 \Omega$,
Até um certo nível**29.** (a) Sim, 8,18 V (b) $R < 2 \text{ k}\Omega$
(c) $R = 1,82 \text{ k}\Omega$